

Subatomär Fysik

Gamla tentor

(1)

1. $^{51}_{22}Ti$ och $^{51}_{23}V$ har spinn och paritet enligt skalmodellens förutsägelse.
 $^{51}_{22}Ti$ β^- - sönderfaller till en nivå med excitationsenergin 0.32 MeV i $^{51}_{23}V$ med $\log ft = 4.9$ och desexciteras med gammastrålning av blandad $M1$ och $E2$ karaktär.
 - a) Bestäm spinn och paritet (I^π) för grundtillstånden hos $^{51}_{22}Ti$ och $^{51}_{23}V$
 - b) Vilka är de möjliga spinn och paritetsvärdena för 0.32 MeV nivån i $^{51}_{23}V$? (3 p.)
2. Visa att parbildning är en omöjlig process utan närvaro av en kärna, som kan absorbera en del av rekylenergin. (3 p.)
3. Diskutera begreppet isospin för kärnor och partiklar (2 p.)
4. Visa att differentiella tvärsnittet för Rutherford-spridning kan skrivas

$$\frac{d\sigma}{d\Omega} = \left(\frac{ze^2}{4\pi\epsilon_0} \right)^2 \left(\frac{1}{4T_a} \right)^2 \frac{1}{\sin^4 \frac{\theta}{2}}$$

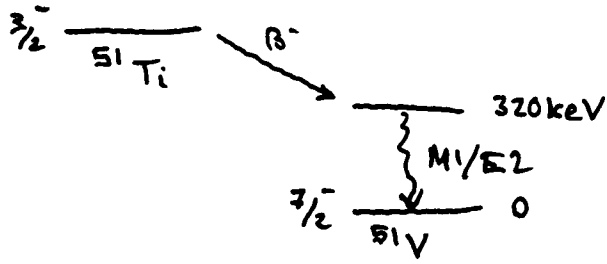
(Ledning: $\mathbf{v} = \frac{dr}{dt} \hat{r} + r \frac{d\beta}{dt} \hat{\beta}$) (3 p.)
5. ρ^+ mesonen kan bildas i en pion-kärn kollision. Den sönderfaller sedan snabbt till π^+ och π^0 enligt

$$\begin{array}{c} \pi^+ + p \rightarrow \rho^+ + p \\ \downarrow \\ \pi^+ + \pi^0 \end{array}$$

Reaktionen kan också gå direkt till $\pi^+ \pi^0$ utan att bilda ρ^+ . Beskriv hur man kan skilja en reaktion med produktion av ρ^+ från den direkta reaktionen. (3 p.)
6. Kärnsyntes för element med masstal större än 60 sker huvudsakligen vid två olika processer. Vilka är dessa? Beskriv huvuddraget i deras förlopp. (2 p.)
7. Tritium har ett Q-värde för beta-sönderfall av ca 18.6 keV. Man har ansett att detta sönderfall skulle kunna utgöra en möjlighet att bestämma massan hos en neutrino. Hur? (2 p.)

(1)

1.



$^{51}_{22} \text{Ti}$ har en oparad neutrino i $2P_{3/2}$

$$\Rightarrow I^{\pi} = 3/2^-$$

$^{51}_{23} \text{V}$ oparad proton i $1S_{1/2} \Rightarrow I^{\pi} = 7/2^-$

(1) $\log ft = 4.9 \Rightarrow$ tillåten övergång $\Rightarrow \Delta I = 0, \pm 1 \quad \Delta \pi = \text{nej}$
 $(\frac{1}{2}^-, \frac{3}{2}^-, \frac{5}{2}^-)$

Antag 320 keV nivån I_1, π_1

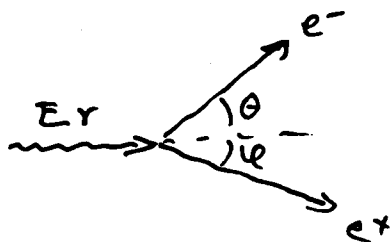
$$M1: \quad | \frac{7}{2} - I_1 | \leq 1 \leq | \frac{7}{2} + I_1 | \Rightarrow I_1 = \frac{5}{2}, \frac{7}{2}, \frac{9}{2}$$

$$(2) \quad E2: \quad | \frac{7}{2} - I_1 | \leq 2 \leq | \frac{7}{2} + I_1 | \Rightarrow I_1 = \frac{3}{2}, \frac{5}{2}, \frac{7}{2}, \frac{9}{2}, \frac{11}{2}$$

$$M1/E2 \text{ byter ej paritet} \Rightarrow I_1^{\pi} = \frac{5}{2}^-, \frac{7}{2}^-, \frac{9}{2}^-$$

(1) och (2) ger endast $\frac{5}{2}^-$ för 320 keV nivån

2.



$$E_{\gamma} = h\nu$$

$$p = \frac{E_{\gamma}}{c} = \frac{h\nu}{c}$$

Energiinservning

$$h\nu = mc^2(\gamma_1 + \gamma_2) \quad (1)$$

Rörelse mängdscons

$$\frac{h\nu}{c} = \gamma_1 p_1 m c^2 \cos \theta + \gamma_2 p_2 m c^2 \cos \psi =$$

$$= mc(\gamma_1 p_1 \cos \theta + \gamma_2 p_2 \cos \psi) \quad (2)$$

$$(1) \text{ och } (2) \quad \gamma_{\text{er}}$$

$$p_1 \cos \theta = 1 \quad p_2 \cos \psi = 1$$

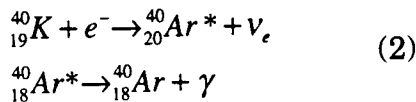
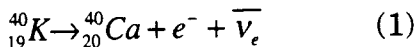
$$\cos \theta \leq \cos \psi \leq 1$$

$$p_1 = \frac{v_1}{c} < 1 \quad \text{och} \quad p_2 = \frac{v_2}{c} < 1$$

\therefore omöjligt.

(2)

- 1 Naturligt kalium har två stabila isotoper ^{39}K och ^{41}K samt en liten mängd ^{40}K (0.0118% av antalet atomer) som är radioaktiv. Sönderfallet av ^{40}K kan ske genom både β^- sönderfall och elektroninfängning (EC) enligt



där ${}_{20}^{40}\text{Ar}^*$ betecknar ett exciterat tillstånd i ${}^{40}\text{Ar}$ som desexciteras genom emission av gammastrålning. Man har uppmätt antalet β^- partiklar från naturligt kalium (1) till $2.7 \cdot 10^4 \text{ kg}^{-1} \text{ s}^{-1}$ och antalet gammakvanta (2) till i genomsnitt 12 per 100 β^- sönderfall. Använd dessa data för att bestämma halveringstiden för ${}^{40}\text{K}$.

(3 p.)

2. Den tyngsta heliumisotopen som kan bildas är ${}^8\text{He}$ ($T_{1/2}=0.122 \text{ s}$). Vid studier av betasönderfallet av ${}^8\text{He}$ har man vid ISOLDE, CERN, Genève, funnit det mycket exotiska söderfallet betafördröjd tritonemission. Spektralformen hos de observerade tritonerna kan endast förklaras om man antar att dotterkärnan, ${}^8\text{Li}$ har ett exciterat tillstånd vid ca 9 MeV. Det är viktigt för förståelsen av det observerade sönderfallet att klargöra om antagandet om tillståndets existens är riktigt. Detta kan göras genom att studera reaktionen



För att studera en sådan reaktion experimentellt bestrålas ${}^6\text{Li}$ med den radioaktiva isotopen ${}^6\text{He}$. Det differentiella reaktionstvärsnittet för reaktionen (3) kan beräknas med god noggrannhet och resultatet framgår av figur 1. Hur många α -partiklar kan man förvänta sig att detektera under ett dygn om man utför experimentet på följande sätt. Intensiteten hos ${}^6\text{He}$ strålen är 10^6 s^{-1} . Strålmålets tjocklek väljs till 5 mg/cm^2 och man använder en detektor med en rymdvinkel av 0.01 sr placerad i en vinkel $\theta = 5^\circ$.

(3 p.)

3. Isotopen ${}_{99}^{251}\text{Es}$ har stabil deformation med deformationsparametern $\epsilon \approx 0.2$ (se figur 2). Energierna för de sex första exciterade tillstånden är 8.3, 31.7, 55.8, 76.1, 114.0 och 182.8 keV. Inordna dessa tillstånd samt grundtillståndet i två rotationsband. Ange impulsmoment och paritet för samtliga tillstånd.

(3 p.)

4. Beräkna med hjälp av semi-empiriska massformeln ett uttryck för den frigjorda energin, Q_α , då en tung atomkärna ($A, Z \gg 1$) α -sönderfaller. Bindningsenergin för en α -partikel är $28.30 \text{ MeV}/c^2$. Den enda naturligt förekommande guldisotopen är ${}^{197}\text{Au}$. Bestäm Q_α för denna isotop och diskutera dess stabilitet utifrån detta värde.

(3 p.)

(2)

5. Baryoner med spinn 3/2 kan placera in i ett diagram där ena axeln utgörs av isospinnetts projektion (T_3) och den andra av särtälet (S). De experimentella värdena för massorna hos dessa baryoner är

$$\begin{aligned}\Delta &\approx 1232 \text{ MeV}/c^2 \\ \Sigma^* &\approx 1385 \text{ MeV}/c^2 \\ \Xi^* &\approx 1530 \text{ MeV}/c^2\end{aligned}$$

Förutom dessa 9 partiklar finns det ytterligare en. Vilken? Ange samtliga partiklars kvarkinnehåll. Räcker de ovan nämnda kvanttalen för att förklara denna grupp av partiklar? (Eftersom svaret givetvis är nej skall det motiveras!) Använd ovanstående massdata för att ge en grov uppskattning av massan hos den tionde partikeln. Motivera svaret.

(3 p.)

6. Antalet fotoner i Universum kan uppskattas från de grundläggande uttrycken för svartkroppsstrålning där energitätheten ges av

$$u(E)dE = \frac{8\pi E^3}{(hc)^3} \frac{1}{e^{E/kT} - 1} dE$$

Härled ett uttryck för antaler fotoner vid temperaturen T .

Om vi antar att Universums massdensitet idag är lika med den kritiska densiteten

$$\rho_c = \frac{3H^2}{8\pi G}$$

där H är Hubbles konstant med värdet $67 \text{ km s}^{-1} \text{ Mpc}^{-1}$ vad blir då förhållandet mellan antalet fotoner och nukleoner i universum?

Ledning:

$$\int_0^\infty \frac{x^{v-1}}{e^{\mu x} - 1} dx = \frac{1}{\mu^v} \Gamma(v) \zeta(v)$$

$$\Gamma(v) = (v-1)!$$

$$\zeta(3) = 1.202$$

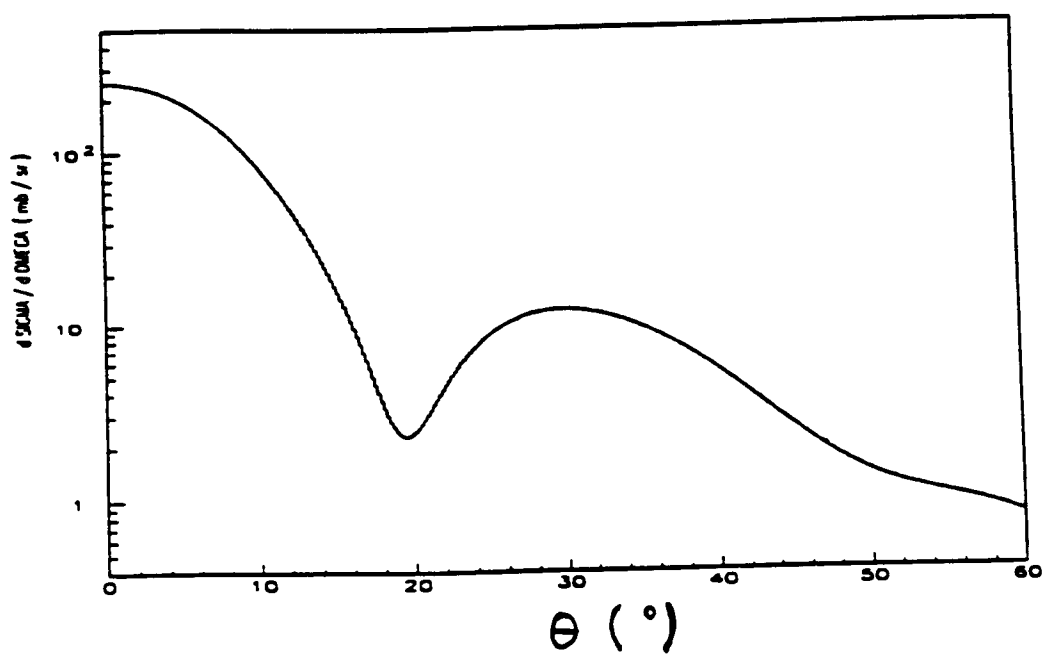
$$\zeta(4) = \frac{\pi^4}{90}$$

Den astronomiska enheten $1 \text{ pc} = 3.26 \text{ ly (ljusår)}$

(3 p.)

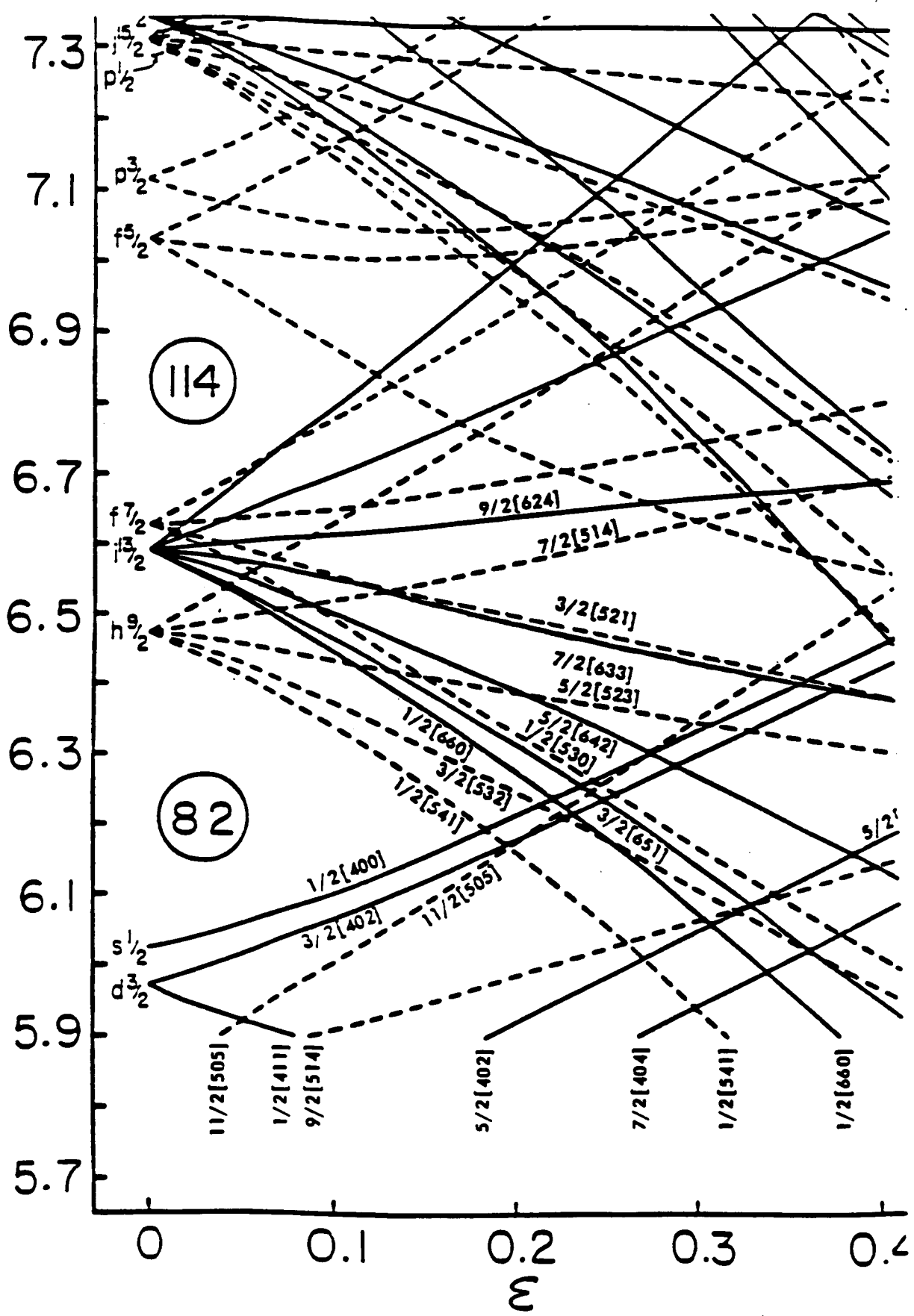
(2)

Figure 1.



Differential cross-section for the ${}^6Li({}^6He, \alpha){}^8Li^*$ reaction.

Figure 2.

Nilsson diagram for odd protons, $82 \leq Z \leq 126$.

(2)

1.

$$\lambda_{\beta^-} = 2.7 \cdot 10^4 \text{ kg}^{-1} \cdot \text{s}^{-1} \cdot 40 \text{ g/mol} \cdot \frac{1}{6.022 \cdot 10^{23} \text{ mol}^{-1} \cdot 6.18 \cdot 10^{-4}} = 4.73 \cdot 10^{-10} \text{ År}^{-1}$$

$$\lambda = \lambda_{\beta^-} + \chi_{EC} = \lambda_{\beta^-} \left(1 + \frac{\chi_{EC}}{\lambda_{\beta^-}}\right) = \lambda_{\beta^-} \left(1 + \frac{12}{100}\right) = 5.37 \cdot 10^{-10} \text{ År}^{-1}$$

$$t_{1/2} = \frac{ln 2}{\lambda} = 1.29 \cdot 10^{10} \text{ År}$$

2.



$$\Theta = 5^\circ$$

$$\frac{d\sigma}{d\Omega} \approx 200 \frac{\text{mb}}{\text{sr}}$$

$$\sigma = \int \frac{d\sigma}{d\Omega} d\Omega = 200 \frac{\text{mb}}{\text{sr}} \cdot 0.01 = 2 \text{ mb}$$

Produktionshastighet:

$$R = N \sigma I = \frac{5 \cdot 10^{-3} \text{ g/cm}^2}{6 \text{ g/mol}} \cdot 6.022 \cdot 10^{23} \text{ mol}^{-1} \cdot 2 \cdot 10^3 \cdot 10^{-28} \text{ m}^2 \cdot 10^6 \text{ s}^{-1}$$

$$= 1 \text{ s}^{-1}$$

$$\therefore 8.6 \cdot 10^4 \text{ per dygn}$$

3. Från Nilssmedayskummet g.s $\frac{3}{2}^- [521]$ och l:a exciterade tillståndet $\frac{7}{2}^+ [633]$

Tillstånden genererar rotationsbanden $\frac{3}{2}^-, 5/2^-, 7/2^-, 9/2^-$... och $\frac{3}{2}^+, 5/2^+, 7/2^+$

Anlägg 0: $\frac{3}{2}^-$ och $31.7 \cdot \frac{3}{2}^-$

$$(i) E_{5/2} - E_{3/2} = \frac{\hbar^2}{2J} \left[\frac{5}{2} \cdot \frac{7}{2} - \frac{3}{2} \cdot \frac{5}{2} \right] \Rightarrow \frac{\hbar^2}{2J} = \frac{31.7}{5}$$

$$E_{7/2} - E_{5/2} = \frac{\hbar^2}{2J} \left(\frac{7}{2} \cdot \frac{9}{2} - \frac{5}{2} \cdot \frac{7}{2} \right) = \frac{12 \hbar^2}{2J} = \frac{12}{5} \cdot 31.7 = 76.1 \text{ keV } 0K$$

$$E_{9/2} - E_{5/2} = 21 \cdot \frac{\hbar^2}{2J} = 133 \text{ keV } 0K$$

$$(ii) E_{9/2} - E_{7/2} = \frac{\hbar^2}{2J} \left[\frac{9}{2} \cdot \frac{11}{2} - \frac{7}{2} \cdot \frac{9}{2} \right] = \frac{9 \hbar^2}{2J} = (55.8 - 8.3) \Rightarrow \frac{\hbar^2}{2J} = \frac{47.5}{9}$$

$$E_{11/2} - E_{7/2} = \frac{28 \hbar^2}{2J} = 105.6 \text{ keV } 0K \quad (114 - 8.3 = 105.6 \text{ keV})$$

$$E_{13/2} - E_{7/2} = 174.2 \text{ keV} \quad (182.8 - 8.3 = 174.5 \text{ keV})$$

$$\frac{182.8}{114} \quad 18/2^+$$

$$\therefore \frac{114}{55.8} \quad 11/2^+$$

$$\frac{55.8}{31.4} \quad 9/2^+$$

$$\frac{31.4}{7.1} \quad 7/2^+$$

(2)

$$4. \quad Q_\alpha = (M(\frac{1}{2}X) - M(\frac{A-4}{2}X) - M_N) c^2 =$$

$$= -a_V [A - (A-4)] + a_S [A^{2/3} - (A-4)^{2/3} + a_C \left[\frac{z^2}{A^{1/3}} - \frac{(z-2)^2}{(A-4)^{1/3}} \right] +$$

$$+ a_{\text{asym}} \left[\frac{(A-2z)^2}{A} - \frac{(A-4-2(z-2))^2}{A-4} \right] + B(2,4)$$

för stora A, z, N ($(1+x)^\alpha \approx 1+\alpha x$ $x \ll 1$)

$$Q_\alpha = -4a_V + \frac{8}{5} a_S A^{2/3} + 4a_C z A^{-1/3} \left(1 - \frac{z}{3A} \right) - 4a_{\text{sym}} \frac{(A-2)^2}{A^2} + B(2,4)$$

$$B(2,4) = 29.3 \text{ MeV}$$

för ${}_{77}^{197}\text{Au}$ $Q_\alpha = 3.1 \text{ MeV}$

$Q_\alpha > 0$ sänder till möjlig
men hindras av
Coulombbarriären

$$\begin{array}{ll} \Delta & \text{odd, odd, odd, even, even} \\ \Sigma & \text{ddz, nds, zns} \\ \Xi & \text{dzz, nzs} \\ \Omega & \text{sss} \end{array}$$

$$\Delta_M = \Sigma - \Delta \approx \Xi - \Lambda \approx 150 \text{ MeV}/c^2$$

$$M_{\Omega^-} \approx 1530 + 150 = 1680 \text{ MeV}/c^2$$

6. sid. 761

1. Vad är den tillåtna stråldosen per år för allmänheten i Sverige?
(1 p.)
2. Atomkärnan $^{238}_{92}U$ initierar en radioaktiv sönderfallskedja med sucessiva α - och β -sönderfall tills den slutligen når den stabila kärnan $^{206}_{82}Pb$. Hur många α - respektive β -sönderfall observeras i denna kedja ?
(3 p.)
3. Den elektriska effekten som behövs för en satellit är 20 W. Denna kan erhållas genom omvandling av energi som frigörs vid radioaktivt sönderfall. Om man skulle utnyttja α -sönderfallet ($E_\alpha = 5.5 \text{ MeV}$) hos rent ^{238}Pu ($t_{1/2}=89 \text{ år}$), hur stor måste i så fall aktiviteten och vikten av ^{238}Pu -källan vara ? Effektiviteten är 5 %.
(3p.)
4. De tabellerade massorna för ^9Li , ^9Be och ^9B är 9.0268 u, 9.0122 u och 9.0133 u. Bestäm värdet på asymmetrikoefficienten i den semiempiriska massformeln utgående från dessa massor.
(3p.)
5. Kärnsyntes för element med masstal större än 60 sker huvudsakligen vid två olika processer. Vilka är dessa ? Beskriv i huvuddrag de båda processernas förlopp.
(3 p.)
6. Ω^- - partikeln tillhör en dekuplett av baryoner med spinn 3/2. Av vilka kvarkar är den uppbyggd och vilka kvanttal behövs för att beskriva den?
(2 p.)
7. $^{51}_{22}Ti$ och $^{51}_{23}V$ har spinn och paritet enligt skalmodellens förutsägelse. $^{51}_{22}Ti$ β^- - sönderfaller till en nivå med excitationsenergin 0.32 MeV i $^{51}_{23}V$ med $\log ft = 4.9$ och desexciteras med gammastrålning av blandad $M1$ och $E2$ karaktär.
 - a) Bestäm spinn och paritet (I^π) för grundtillstånden hos $^{51}_{22}Ti$ och $^{51}_{23}V$
 - b) Vilka är de möjliga spinn och paritetsvärdena för 0.32 MeV nivån i $^{51}_{23}V$?
(3 p.)

(3)

2.

$$\begin{aligned} 4N_\alpha &= 238 - 206 \\ 2N_\alpha - N_\beta &= 92 - 82 \end{aligned} \quad \left. \begin{array}{l} \\ \end{array} \right\} = \begin{array}{l} N_\alpha = 8 \\ N_\beta = 6 \end{array}$$

3.

$$P = E_\alpha \left(-\frac{dN}{dt} \right) = \frac{20}{0.05}$$

$$\text{Aktivität: } -\frac{dN}{dt} = \frac{400}{E_\alpha} = 4.54 \cdot 10^{14} \text{ Bq} = \lambda N$$

$$N = \frac{4.54 \cdot 10^{14}}{\ln 2} \cdot 89 \cdot 365 \cdot 24 \cdot 3600 \cdot m(C^{22}Pb) = 0.73 \text{ kg}$$

4.

$$M(\frac{9}{4}Be) - M(\frac{9}{3}Li) = M(^1H) - m_n + a_c \left(\frac{16-9}{9 \cdot 3} \right) +$$

$$+ a_{\text{asym}} \left(\frac{1-9}{9} \right)$$

$$\frac{7}{9 \cdot 3} a_c - \frac{8}{9} a_{\text{asym}} = -12.82 \text{ MeV}$$

$$M(\frac{9}{5}B) - M(\frac{9}{4}Be) = M(^1H) - m_n + a_c \left(\frac{25-16}{9 \cdot 3} \right)$$

$$\Rightarrow a_c = 0.42 \text{ MeV}$$

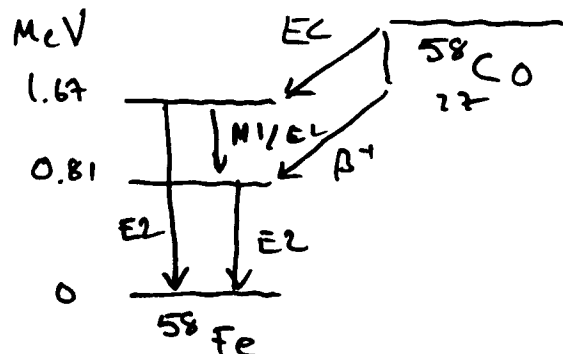
$$\therefore a_{\text{asym}} = 16.0 \text{ MeV}$$

7. Se ① 1.

(5)

1. Isotopen $^{249}_{97}Bk$ har stabil deformation med deformationsparametern $\epsilon \approx 0.2$. Energierna för de åtta första exciterade tillstånden är 8.8, 39.6, 41.8, 82.6, 93.7, 137.7, 155.8 och 204.6 keV. Inordna dessa tillstånd samt grundtillståndet i två rotationsband. Ange rörelsemängdsmoment och paritet för samtliga tillstånd. Det relevanta Nilssondiagrammet bifogas som Figur 1. *)
(3 p.)

2. Ett förenklat sönderfallsschema för ^{58}Co visas nedan. Betasönderfallen är av tillåten typ. Vilka värden på impulsmoment och partiet erhålls för de i figuren angivna kärntillstånden.



(2p.)

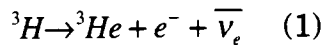
3. Flödet av neutriner från solen är 10^{11} per cm^2 och sekund. En Volvo 240 antas bestå av 1 ton järn.

- a) Bestäm den inducerade radioaktiviteten i järnet efter 24 timmar om tvärsnittet för bildning av ^{56}Mn i inverst betasönderfall är 10^{-20} b ? Halveringstiden för ^{56}Mn är 2 timmar och 36 minuter.
b) Hur stor är aktiviteten efter ytterligare 24 timmar om man antar att neutrinoströmmen plötsligt upphör?

(3p.)

4. Enligt Fermis teori för betasönderfall kan ett betaspektrums form beskrivas som funktion av kinetiska energin, T_e , för elektronen. Visa att då $Q \ll m_e c^2$ är medelenergin av ett betaspektrum $\langle T_e \rangle = 1/3 Q$. (Q är ändpunktsergen för betasönderfallet och m_e elektronmassan)

Hur stor blir medelenergin som antineutrinerna för med sig vid sönderfallet av den tyngsta väteisotopen tritium



(3 p.)

*) Fig. 2 (2)

5. Använd Q värdet för sönderfallet (1) för att göra en uppskattning av radien hos 3He .

(3 p.)

6. Den neutrala mesonen K^0 kan spontant konverteras till sin antipartikel \bar{K}^0 . Man finner experimentellt att sönderfallet av denna meson ger upphov till två olika livslängder.

$$\tau(K_1) = 0.892 \cdot 10^{-10} \text{ s}$$

och

$$\tau(K_2) = 5.18 \cdot 10^{-8} \text{ s}$$

Diskutera orsaken till detta. En detaljerad redogörelse krävs för full poäng.

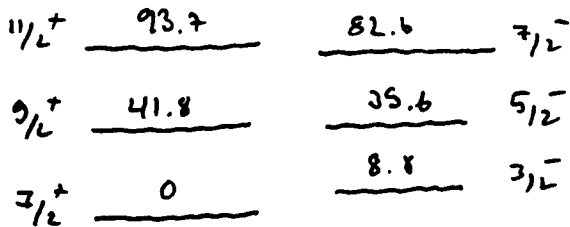
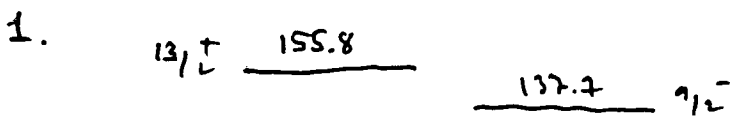
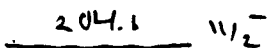
(3 p.)

7. Visa att universums utsträckning är begränsad endast då den konstant, k, som anger rum-tidens krökning är positiv. Bestäm för $k > 0$ den tidpunkt då universum når sin maximala utsträckning om vi antar att universum domineras av strålning. I detta fall är energidensiteten, ρ , omvänt proportionell mot R^4 , dvs. $\rho = a/R^4$ (a är en konstant).
Ledning: Universums utsträckning bestäms av den så kallade skalfaktorn R ($R=R(t)$, $R(0)=0$), som uppfyller

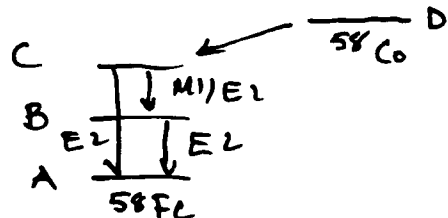
$$\frac{1}{R^2} \left(\frac{dR}{dt} \right)^2 = \frac{8\pi G}{3} \rho - \frac{k}{R^2}.$$

(3p.)

(5)



2.



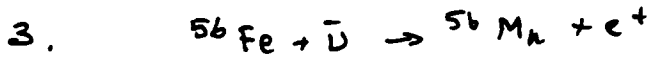
$$A = I^\pi = 0^+ \quad j-j$$

$$B = I^\pi = 2^+ \quad (E2) -$$

$$C = I^\pi = 2^+ \quad (E2)$$

D : TiUålet på sänder till $\Delta I = 0, = 1$
 $\Delta \pi = \text{nej}$

$$I^\pi = 1^+, 2^+, 3^+ \text{ möjlig (Exp. } 2^+)$$



$$T_{1/2} = 2.6 \text{ h}$$

$$A = R(1 - e^{-\lambda t})$$

$$R = N \sigma I = \frac{10^6 \text{ g}}{56 \text{ g/mol} \cdot \text{L}} \cdot 6.022 \cdot 10^{23} \text{ mol}^{-1} \cdot 10^{-20} \cdot 10^{-28} \text{ m}^2 \cdot \frac{10^{11}}{10^{-4} \text{ m}^2 \cdot \text{s}} = 1.073 \cdot 10^{-5} \text{ s}^{-1}$$

$$a) A(24 \text{ h}) = 1.073 \cdot 10^{-5} \cdot (1 - e^{-\frac{6.24}{2.6}}) = 1.07 \cdot 10^{-5} \text{ s}^{-1}$$

$$b) A = 1.07 \cdot 10^{-5} \text{ s}^{-1} \cdot e^{-\frac{m_L}{2.6} \cdot 24} = 1.8 \cdot 10^{-8} \text{ s}^{-1}$$

$$4. \quad N(p) \sim p^2 q^2 \sim p^2 (Q-T)^2$$

$$Q \ll mc^2 \quad T = \frac{p^2}{2m}$$

$$\langle T \rangle = \frac{\int_0^Q N(T) T dT}{\int_0^Q N(T) dT} = \frac{\int_0^Q T^{3/2} (Q^2 - 2QT + T^2) dT}{\int_0^Q T^{1/2} (Q^2 - 2QT + T^2) dT} = \frac{Q}{3}$$



$$Q = [M({}^3\text{H}) - M({}^3\text{He})] c^2 = 18.6 \text{ keV}$$

$$Q \ll mc^2$$

Medelenergi för $\bar{\nu}_e$

$$\frac{2}{3} Q = 12.4 \text{ keV}$$

(5)

$$5. Q = [m(^3H) - m(^3He)]c^2 = \{m(^1H) + 2m_n - \frac{B}{c^2}(^3H) - \\ - (2m(^1H) + m_n - \frac{B}{c^2}(^2He)\}c^2 = 18.6 \text{ keV} = \\ = (m_n - m(^1H))c^2 - B(^3H) + B(^3He) \\ B(^3H) - B(^3He) = 763.4 \text{ keV}$$

Skillsnaden i B = den el. statiska repulsionen mellan
de två protonerna i ${}^3\text{He}$

$$E_C \propto \frac{e^2}{4\pi\epsilon_0 R} = 763.4 \Rightarrow R = \frac{144 \text{ MeV fm}}{763.4 \text{ keV}} = 1.9 \text{ fm}$$

$$7. \frac{1}{R^2} \left(\frac{dR}{dt} \right)^2 = \frac{8\pi G}{3} g - \frac{k}{R^2} \quad (1) \quad R(0) = 0$$

$$\text{Begränsa ur i vrsn } \frac{dR}{dt} \Big|_{t=t_m} = 0$$

Endast då $k > 0$ eftersom $g > 0$

$$g = \frac{a}{R^4}$$

$$R^2 \left(\frac{dR}{dt} \right)^2 = \frac{8\pi G}{3} a - kR^2$$

$$\int_0^R \frac{R' dR'}{\sqrt{\frac{8\pi}{3} Ga - kR'^2}} = \int_0^t dt'$$

$$-\frac{1}{k} \sqrt{\frac{8\pi}{3} Ga - kR^2} + \frac{1}{k} \sqrt{\frac{8\pi}{3} Ga} = t$$

välket ger

$$R^2 = 2\sqrt{\frac{8\pi G}{3} a} t - kt^2$$

$$R^2 \text{ max för } t_m = \frac{1}{k} \sqrt{\frac{8\pi G}{3} a}$$



$$R_{\max}^2 = 2\sqrt{\frac{8\pi G}{3} a} \frac{1}{k} \sqrt{\frac{8\pi G}{3} a} - k \frac{1}{k} \cdot \frac{8\pi G}{3} a = \\ = \frac{1}{k} \cdot \frac{8\pi G a}{3}$$